



УДК 541.49.541.144.7:542.951.4

СИНТЕЗ И ФОТОФИЗИЧЕСКИЕ СВОЙСТВА ТРИАДЫ МЕТИЛОВЫЙ ЭФИР L-ТИРОЗИНА-МЕЗОПОРФИРИН II-ПРОИЗВОДНОЕ ХИНОНА

© 1998 г. Р. П. Евстигнеева[#], А. А. Грибков, В. З. Пашенко*,
В. Б. Тусов*, Б. Н. Корватовский*

Московская государственная академия тонкой химической технологии им. М.В. Ломоносова,
117571, Москва, пр. Вернадского, 86;

* Московский государственный университет им. М.В. Ломоносова

Поступила в редакцию 23.02.98 г. Принята к печати 13.04.98 г.

Осуществлен синтез триадной системы, содержащей остатки метилового эфира L-тирофина (ТутОМе), мезопорфирина II (Р) и 2-(2-гидроксиэтил)тио-3-метил-1,4-нафтохинона (Q). Методами стационарной и динамической флуоресценции показан перенос энергии и электрона в системе. Определены квантовые выходы (ϕ): 0.16 для диады Р–Q и 0.53 для триады Q–Р–ТутОМе. Проведен компьютерный расчет наиболее предпочтительной конформации триады.

Ключевые слова: порфирин; хинон; порфирин-хинон; тирозин; триада.

Известно, что высокоэффективное фотоиндуцируемое разделение зарядов на большие расстояния в фотосинтетическом реакционном центре достигается за счет многоступенчатого переноса электрона через ряд донорных и акцепторных фрагментов [1]. Те же принципы, использованные при создании триадных и тетрадных фотосинтетических моделей, позволили получить долгоживущее состояние с разделенными зарядами с высоким квантовым выходом. Таким образом, было показано, что использование многоступенчатого переноса электрона повышает эффективность и скорость переноса электрона также и в модельных соединениях [1–3]. При моделировании процесса природного фотосинтеза создание систем, способных к переносу электрона и энергии, предполагает получение конструкций, содержащих фотовозбужденный пигмент, хинон – акцептор электронов и донор электронов. Процесс переноса электронов и энергии контролируется с помощью физико-химических методов, таких, как времязарешенная флуоресцентная и абсорбционная спектроскопии [1–3]. В качестве вторичных доноров электронов использовались каротиноиды, ароматические и алифатические амины [1–3]. Нами было показано, что в диадных системах аминокислоты (тирофайн и триптофан) способны проявлять донорные свойства [4]. Представлялось интересным изучить влияние тирозинового остатка на фотохимические свойства триады. В данной статье сообщается о синтезе на основе мезопорфирина II (I) новой триадной сис-

темы (I) [6], содержащей остаток ТутОМе наряду с акцептором электронов – остатком хинона.

Синтез данного соединения осуществлялся по приведенной ниже схеме. Моногидрохиноновое производное (IV) было получено исходя из мезопорфирина II (II) по методике [7] с общим выходом 33% в расчете на исходный порфирин. Конденсация соединения (IV) с метиловым эфиром тирозина в условиях активации *N,N'*-дициклогексилкарбодиимидом (метод А) приводила к получению триады (I) с выходом 39% после хроматографической очистки. Лучшего результата удалось достичь путем присоединения остатка ТутОМе методом смешанных ангидридов с использованием ди-*трет*-бутилпирокарбоната в качестве активирующего агента (метод Б) [7]. В ходе реакции в основном образуется вос-защищенное производное триады (I). Вос-защиту удаляли обработкой реакционной массы трифторуксусной кислотой в хлористом метилене. Выход соединения (I) после очистки препаративной ТСХ составил 51%.

Структура всех полученных соединений была подтверждена данными УФ, ¹Н-ЯМР-спектроскопии и масс-спектрометрии. В ЯМР-спектрах диады (IV) и триады (I) наблюдали значительный сдвиг сигналов протонов хинонового остатка в область сильного поля по сравнению с сигналами протонов исходного хинона, что может соответствовать “свернутой” конформации данных соединений [8].

В масс-спектрах триады (I) присутствовал молекулярный пик M^+ (m/z 974); кроме того, в области m/z 771 наблюдали сигнал с интенсивностью

[#]Автор для переписки (тел.: (095) 434-86-78, факс: (095) 434-87-11, e-mail: evstigneova@httos.mith.msk.ru).

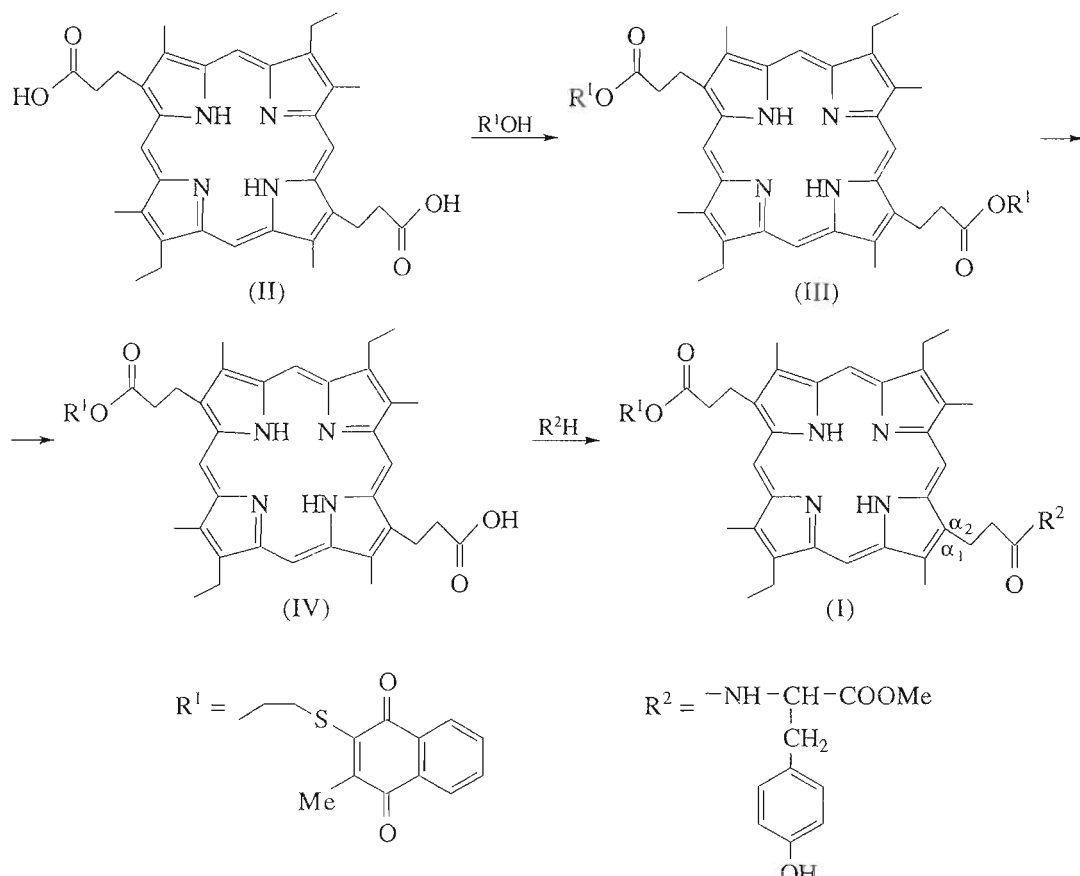


Схема.

тью 80%, который свидетельствует о разрыве S–CH₂-связи.

В спектрах кругового дихроизма триады (I) наблюдается отрицательный эффект Коттона (рис. 1) в области полосы Соре, который должен быть отнесен к аминокислотному компоненту молекулы [9], поскольку у порфирина хиральность отсутствует.

Спектры флуоресценции были измерены в стационарном и времязарезщенном режимах. Анализ кинетик затухания флуоресценции проводили в моно- и биэкспоненциальном приближении с учетом аппаратной функции спектрофлуорометра (рис. 2):

$$F(t) = A \exp(-t/\tau) \quad (1)$$

или

$$F(t) = A_1 \exp(-t/\tau_1) + A_2 \exp(-t/\tau_2).$$

Здесь A, A_1, A_2 – амплитуды компонентов кинетики затухания флуоресценции, τ, τ_1, τ_2 – их длительности. Результаты кинетических измерений представлены в таблице.

Из таблицы видно, что кинетика затухания флуоресценции исходного порфирина (II) моноэкспоненциальна с τ 4200 пс. Кинетика флуоресценции димера P–Q (IV) двухкомпонентна, причем квантовый выход флуоресценции этого соединения в 6.26 раза ниже, чем у порфирина (II). Тушащее свойство хинона хорошо известно и объясняется конкурирующей с процессами внутримолекулярной дезактивации реакцией переноса электрона от P* к Q. Очевидно, что “быстрый” компонент в кинетике затухания флуоресценции P–Q можно отнести к реакции разделения зарядов $PQ \xrightarrow{h\nu} P^*Q \xrightarrow{k_c} P^+Q^-$, тогда как медленный – к ре-

Значения амплитуд A, A_1, A_2 и длительностей τ, τ_1, τ_2 компонентов кинетики затухания флуоресценции соединений (I), (II), (IV)

Соединения	A	A_1	A_2	$\tau, \text{ пс}$	$\tau_1, \text{ пс}$	$\tau_2, \text{ пс}$	ϕ^*
Порфирин (II)	1.0	–	–	4200	–	–	1.0
P–Q (IV)	–	0.23	0.77	–	780	6300	0.16
Q–P–TyrOMe(I)	–	0.40	0.60	–	730	7200	0.53

* ϕ – относительный квантовый выход флуоресценции.

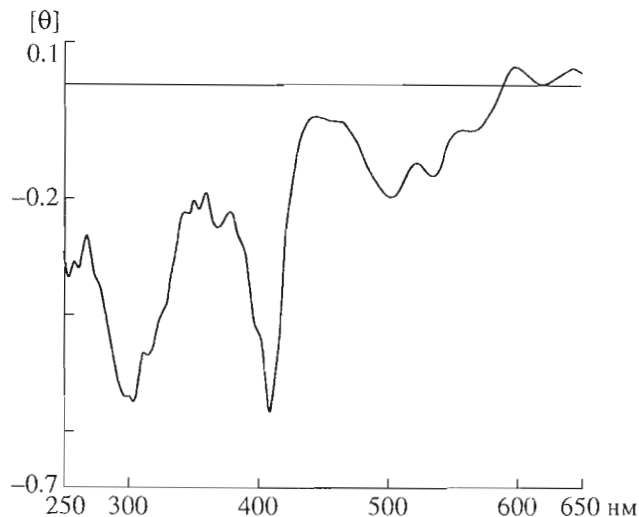


Рис. 1. КД-спектр триады (I) ($c = 5 \times 10^{-5}$ М) при 20°C в CHCl_3 .

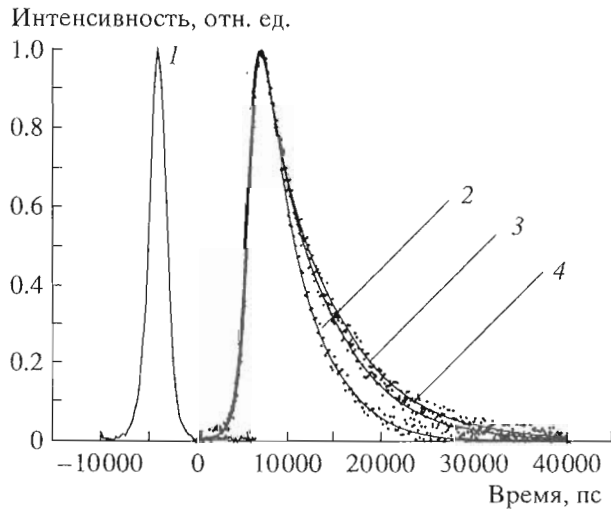
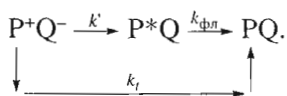


Рис. 2. Кинетика затухания флуоресценции соединений (I), (II), (IV). Параметры возбуждающего импульса: $\lambda_{\text{возб}} = 532$ нм, $\Delta t_{\text{имп}} = 30$ пс, частота следования импульсов 2 Гц: 1 – аппаратная характеристическая функция спектрофлуориметра; 2 – порфирина (II), 3 – порфирина-хинона (IV), 4 – триады Q-P-TyrOMe (I).

акции рекомбинации зарядов в образовавшейся ион-радикальной паре:



Квантовый выход флуоресценции порфирина (II) (ϕ_0) и димера PQ (IV) (ϕ_d) можно записать в виде

$$\phi_0 = k_{\text{фл}} / \Sigma k_i; \quad \phi_d = k_{\text{фл}} / (\Sigma k_i + k_e), \quad (2)$$

где $k_{\text{фл}}$ – константа скорости флуоресценции, Σk_i – сумма констант скоростей внутримолекулярной

дезактивации возбуждений, k_e – константа скорости переноса электрона от P* к Q.

Из таблицы следует, что $\phi_0 / \phi_d = 6.26$. Путем несложных преобразований уравнений (2) можно получить

$$\phi_0 / \phi_d = (\Sigma k_i + k_e) / \Sigma k_i; \quad k_e = 5.26 \Sigma k_i.$$

Таким образом, из сравнения спектральных характеристик следует, что в соединении (IV) константа скорости переноса электрона k_e в 5.26 раза больше суммы внутримолекулярных констант скоростей релаксации, а квантовый выход реакции переноса электрона $\phi_d = k_e / (\Sigma k_i + k_e) = 0.84$.

Результаты, полученные из спектральных измерений, можно сравнить с результатами, полученными из кинетических данных. Моноэкспоненциальный характер кинетики затухания флуоресценции порфирина предполагает, что $\Sigma k_i = 1/\tau = 2.4 \times 10^8 \text{ с}^{-1}$, следовательно, $k_e = 5.26 \Sigma k_i = 1.26 \times 10^9 \text{ с}^{-1}$. Из кинетических данных видно, что $k_e = 1/\tau_1 = 1.28 \times 10^9 \text{ с}^{-1}$. Таким образом, хорошее совпадение значений k_e получено из двух независимых измерений. В то же время если считать, что τ_2 отвечает времени рекомбинации зарядов, то константы образования и распада состояния с разделенными зарядами k_e и k_r составляют 1.28×10^9 и $1.6 \times 10^8 \text{ с}^{-1}$ соответственно.

Относительный выход флуоресценции триады (I) $\phi = 0.53$ (см. таблицу) в 3.3 раза выше величины ϕ_d . Другими словами, присоединение остатка тирозина к димеру P-Q (IV) резко увеличивает выход флуоресценции составной части триады – порфирина. При этом наблюдается существенное перераспределение вкладов быстрого (A_1) и медленного (A_2) компонентов в кинетику затухания флуоресценции в триаде по сравнению с димером P-Q (IV), хотя длительности компонентов τ_1 и τ_2 близки. Считая, что “быстрый” компонент в кинетике затухания флуоресценции триады связан с разделением зарядов между P и Q, можно определить константу скорости этой реакции ($k_r = 1/\tau_1 = 1.37 \times 10^9 \text{ с}^{-1}$) и ее квантовый выход ($\phi = 0.85$). Очевидно, что разделение зарядов в триаде (I) происходит с несколько большей скоростью и квантовым выходом по сравнению с димером (IV). Константа скорости рекомбинации зарядов в триаде (I) ($k_r = 1.4 \times 10^8 \text{ с}^{-1}$) близка к значению этой константы в димере (IV) ($1.6 \times 10^8 \text{ с}^{-1}$).

Также был проведен компьютерный расчет наиболее предпочтительной конформации для соединения (I). Расчет конформации осуществлялся при помощи программы “Autodesk HyperChem” версий 2.0 и 3.0 методом силового поля MM⁺. Вследствие сложности молекулы и гибкости ковалентного мостика геометрия молекулы определяется вращением вокруг ковалентных связей спирала [10]. Расчет конформации с наименьшей энергией осуществляли последовательным изменением (от 0 до 350° с шагом 10°) пары торсионных углов

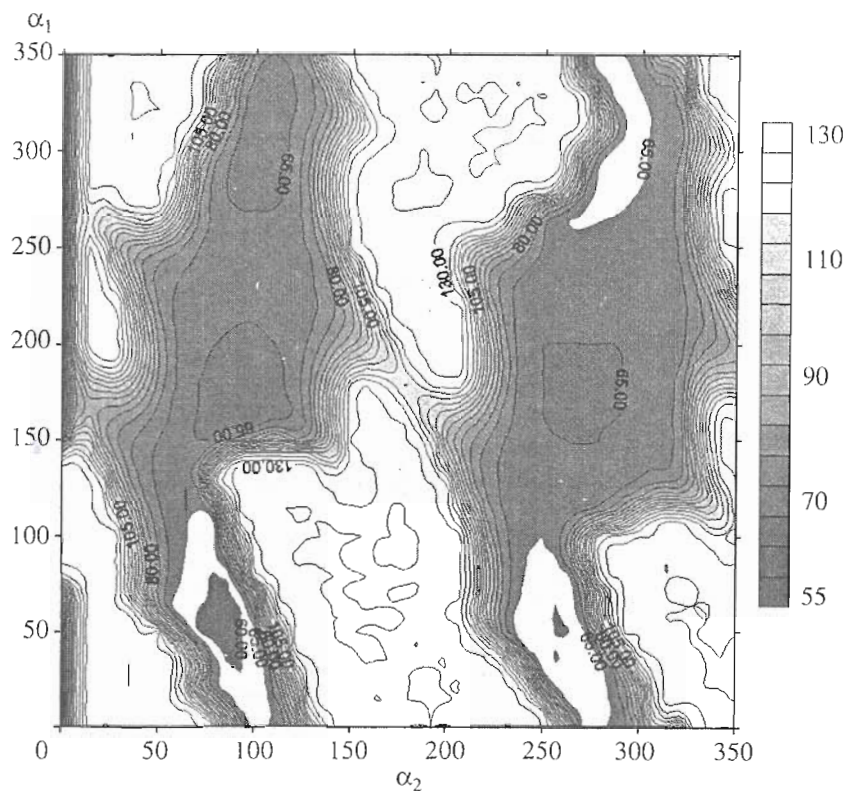


Рис. 3. Зависимость общей энергии триады (I) от торсионных углов α_1 и α_2 .

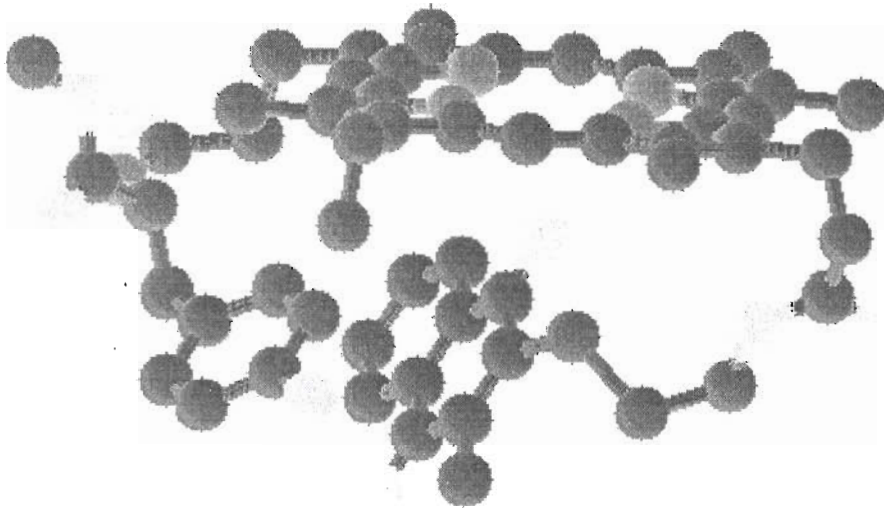


Рис. 4. Наиболее предпочтительная конформация триады (I).

α_1 и α_2 (см. схему) ковалентного мостика для нахождения областей с наименьшей энергией (рис. 3). После оптимизации полученной конформации при помощи метода Ньютона–Рафсона (градиент 0.01 ккал/(\AA моль)) те же расчеты проводились для следующей пары торсионных углов. Окончательная оптимизация молекулярной структуры осуществлялась при помощи метода Флитчера–Ривса (градиент 0.01 ккал/(\AA моль)). Общая энергия мо-

лекулы составила 46.6 ккал/моль. Проведенные расчеты показали, что в предпочтительной конформации триады (I) тирозиновая и хиноновая части сближаются друг с другом, находясь над плоскостью порфирина (рис. 4). Удаление хиноновой и тирозиновой частей молекулы от плоскости порфирина составило приблизительно 3.5 \AA , а расстояние между хиноновой и тирозиновой частями молекулы – 2.9 \AA . Наличие “свернутой” конформа-

ции у наиболее предпочтительной конформации соединения (I) хорошо согласуется с данными ^1H -ЯМР-спектров.

ЭКСПЕРИМЕНТАЛЬНАЯ ЧАСТЬ

Конденсации осуществляли в безводных растворителях. Индивидуальность полученных соединений и ход реакции контролировали методом ТСХ в следующих системах: Silufol UV-254 (ЧСФР), хлороформ–метанол, 10 : 1 (A); хлороформ–метанол, 5 : 1 (B); Kieselgel F₂₅₄ (Merck, ФРГ), хлороформ–метанол, 15 : 1 (B); хлороформ–метанол, 20:1 (Г); Alufol (ЧСФР), хлороформ–метанол, 10:1 (E). ИК-спектры снимали на спектрофотометре Shimadzu IR-435 (Япония), электронные спектры – в хлороформе на спектрофотометрах Shimadzu UV-240 и Jasco UV-7800 (Япония). Масс-спектры измеряли на масс-спектрометре МСБХ (ионизация продуктами деления ^{252}Cf). Спектры ^1H -ЯМР записаны на спектрометре Brucker WM-200 (ФРГ) на рабочей частоте 200 МГц в дейтерохлороформе; внутренний стандарт – гексаметилдисилоксан. Спектры кругового диэлектрического поляризатора были получены на спектрополяризаторе Jasco-720 (Япония). Спектры поглощения растворов соединений (концентрация 5×10^{-6} М) в ацетоне снимались на спектрофотометре Hitachi-557, спектры флуоресценции – на спектрофотометре Hitachi-850. Для экспериментального определения констант скоростей процессов дезактивации возбужденных состояний образцов кинетику затухания флуоресценции регистрировали на импульсном спектрофлуориметре [11]. Возбуждение соединений осуществляли в полосе поглощения порфирина ($\lambda_{\text{возб}}$ 532 нм), длительность импульсов возбуждающего света составляла ~30 пс. Кинетику затухания флуоресценции регистрировали с помощью электронно-оптического преобразователя, сопряженного с анализатором и компьютером (рис. 2). В кинетических измерениях концентрации образцов составляли 10^{-4} М.

1,3,5,7-Тетраметил-4,8-диэтил-2,6-бис{2-[2-(3-метил-1,4-нафтохинон-2-ил)тиоэтил]оксикарбонилэтил}порфирина (III). К раствору 100 мг (0.17 ммоль) мезопорфирина II (II) в смеси 20 мл хлороформа и 3 мл пиридина прибавляли 99.3 мг (0.40 ммоль) 2-(2-гидроксиэтил)тио-3-метил-1,4-нафтохинона, затем 88 мг (0.40 ммоль) ди-*трет*-бутиллирокарбоната при 0°C и через 10 мин 5 мг (0.04 ммоль) 4-диметиламинопиридина, после чего перемешивали смесь 2 ч при 20°C. Реакционную массу выливали в 300 мл 2% соляной кислоты, экстрагировали хлороформом (3 × 30 мл) и сушили над безводным сульфатом натрия. Растворитель удаляли, остаток хроматографировали на пластинах (20 × 20 см) с кизельгелем 60 F₂₅₄ (Merck), элюируя системой хлороформ–тексан (2 : 1). Собирали основную фракцию, раствори-

тель удаляли, остаток затирали в пентане. Кристаллы высушивали в вакууме над парафином и пентоксидом фосфора. Выход 104 мг (59%). R_f 0.42 (B). Электронный спектр, λ_{max} (lg ε): 621.3 (3.60), 567.9 (3.83), 535.3 (3.95), 499.1 (4.17), 399.7 (5.19) нм. ИК-спектр (KBr), ν, см⁻¹: 3301 (NH), 1730 (CO в сл. эфире), 1655 (CO хинона), 1589, 1555 (C=C хиона). ^1H -ЯМР-спектр (δ, м.д.): 1.78 (6H, с, CH₃ хиона), 1.87 (6H, т, J 7.5 Гц, CH₂CH₃), 3.13 (4H, т, J 6.25 Гц, CH₂CH₂O), 3.14 (4H, т, J 7.75 Гц, CH₂CH₂CO), 3.56 (6H), 3.63 (6H, все с, CH₃ порф.), 4.06 (4H, к, J 7.5 Гц, CH₂CH₃), 4.24 (4H, т, J 6.25 Гц, CH₂CH₂O), 4.31 (4H, т, J 7.75 Гц, CH₂CH₂CO), 7.23–7.27 (4H), 7.71–7.75 (4H, все м, CH аром.), 9.94 (2H), 9.98 (2H, все с, мезо-Н). Найдено, %: C 70.11, H 5.72, N 5.44, S 6.13. C₆₀H₅₈N₄O₈S₂. Вычислено, %: C 70.15, H 5.69, N 5.45, S 6.24.

1,3,5,7-Тетраметил-4,8-диэтил-6-(2-карбоксиэтил)-2-{2-[3-метил-1,4-нафтохинон-2-ил]тиоэтил}оксикарбонилэтил}порфирина (IV). К раствору 40 мг (0.04 ммоль) порфирина (III) в 2 мл диксана прибавляли 25 мл 4 н. соляной кислоты и перемешивали 1 ч при 20°C. Реакционную массу выливали в 300 мл воды и экстрагировали хлороформом (3 × 30 мл), экстракт промывали водой, сушили над безводным сульфатом натрия и растворитель удаляли. Остаток делили препаративной ТСХ на пластинах (15 × 15 см) с силикагелем L 5/40, элюируя системой хлороформ–метанол (10:1). Собирали фракцию с R_f 0.39 (B), затирали ее в пентане и высушивали в вакууме над парафином и пентоксидом фосфора. Выход 19 мг (43%). R_f 0.39 (B), 0 (E). Электронный спектр, λ_{max} (lg ε): 620.5 (3.61), 566.9 (3.75), 533.5 (3.92), 499.1 (4.07), 399.7 (5.16) нм. ИК-спектр (KBr), ν, см⁻¹: 3306 (NH), 1735 (CO в сл. эфире), 1700 (CO в COOH), 1660 (CO хиона), 1585, 1550 (C=C хиона). ^1H -ЯМР-спектр (δ, м.д.): 1.48 (3H, с, CH₃ хиона), 1.83 (3H), 1.87 (3H, все т, J 7.5 Гц, CH₂CH₃), 3.04 (2H, т, J 6.25 Гц, CH₂CH₂O), 3.12 (2H, т, J 7.75 Гц, CH₂CH₂CO), 3.31 (2H, т, J 8 Гц, CH₂CH₂COOH), 3.54 (3H), 3.58 (3H), 3.59 (3H), 3.63 (3H, все с, CH₃ порф.), 4.01 (2H), 4.06 (2H, все к, J 7.5 Гц, CH₂CH₃), 4.20 (2H, т, J 6.25 Гц, CH₂CH₂O), 4.28 (2H, т, J 7.75 Гц, CH₂CH₂CO), 4.34 (2H, т, J 8 Гц, CH₂CH₂COOH), 7.19–7.24 (2H), 7.66–7.71 (2H, все м, CH аром.), 9.93 (3H), 9.98 (1H, все с, мезо-Н). Найдено, %: C 70.51, H 6.29, N 6.88, S 3.69. C₄₇H₄₈N₄O₆S. Вычислено, %: C 70.83, H 6.07, N 7.03, S 4.02.

1,3,5,7-Тетраметил-4,8-диэтил-6-[2-(O^α-метил-L-тирозинокарбонил)этил]-2-{2-[3-метил-1,4-нафтохинон-2-ил]тиоэтил}оксикарбонилэтил}порфирина (I)

Метод А: К раствору 26 мг (0.032 ммоль) соединения (IV) в 3 мл CH₂Cl₂ прибавляли 50 мг (0.26 ммоль) метилового эфира тирозина, предварительно обработанного раствором Et₃N в CH₂Cl₂,

45 мг (0.22 ммоль) DCC и перемешивали смесь 12 ч при 20°C. Реакционную массу выливали в 300 мл 2% соляной кислоты, экстрагировали хлороформом (3×30 мл) и сушили над безводным сульфатом натрия. Растворитель удаляли, остаток хроматографировали на пластинах (20×20 см) с кизельгелем 60 F₂₅₄ (Merck), элюируя системой хлороформ–метанол (30 : 1). Собирали основную фракцию, растворитель удаляли, остаток затирали в пентане. Кристаллы высушивали в вакууме над паракином и пентоксидом фосфора. Выход 12 мг (39%).

Метод Б: К раствору 15 мг (0.019 ммоль) соединения (IV) в смеси 10 мл хлороформа и 2 мл пиридина прибавляли 45 мг (0.23 ммоль) метилового эфира тирозина, предварительно обработанного раствором Et₃N в CH₂Cl₂, затем 15 мг (0.07 ммоль) ди-*трем*-бутилпирокарбоната при 0°C и через 10 мин 5 мг (0.04 ммоль) 4-диметиламинопиридин, после чего перемешивали смесь 12 ч при 20°C. Реакционную массу выливали в 200 мл 2% соляной кислоты, экстрагировали хлороформом (3×20 мл) и сушили над безводным сульфатом натрия. Растворитель удаляли, остаток растворяли в 2 мл CH₂Cl₂, добавляли 0.3 мл CF₃COOH и перемешивали 2 ч при комнатной температуре. Растворитель удаляли при пониженном давлении, остаток обрабатывали раствором Et₃N в CH₂Cl₂, выливали в воду (200 мл), экстрагировали хлороформом и сушили над безводным сульфатом натрия. После упаривания растворителя остаток хроматографировали на пластинах (20×20 см) с кизельгелем 60 F₂₅₄ (Merck), элюируя хлороформом. Собирали основную фракцию, растворитель удаляли, остаток затирали в пентане. Кристаллы высушивали в вакууме над паракином и пентоксидом фосфора. Выход 10 мг (51%). R_f 0.56 (Γ), т.пл. 174–176°C. Электронный спектр, λ_{max} (lg ϵ): 620 (3.62), 567 (3.66), 528 (3.76), 495 (3.84), 395 (4.43); ¹H-ЯМР-спектр (δ , м.д.): 1.48 (3H, с, CH₃ хинона), 2.00–1.82

(6H, м, CH₂CH₃), 2.45 (2H, д, J 5 Гц, CH-CH₂), 3.26 (2H, т, J 8 Гц, CH₂CH₂O), 3.38 (3H, с, OCH₃), 3.39–3.56 (4H, м, CH₂CH₂CO), 3.60 (3H), 3.64 (6H), 3.66 (3H, все с, CH₃ порф.), 4.00–4.40 (8H, м, CH₂CH₂CO, CH₂CH₃), 4.35 (2H, т, J 8 Гц, CH₂CH₂O), 4.41 (1H, д.т, J_1 8 Гц, J_2 5 Гц, NH-CH), 5.47 (1H, д, J 8 Гц, NH тирозина), 6.85–7.10 (4H, все м, CH аром.), 7.19–7.24 (2H), 7.71–7.95 (2H, все м, CH аром.), 10.05 (2H), 10.08 (1H), 10.10 (1H, все с, мезо-Н). Mass-спектр, m/z : 974.1 (M^+).

Авторы благодарят Российский фонд фундаментальных исследований за финансовую поддержку (грант № 97-03-33158а и № 96-15-97709) и ЦКП ФИМИС за измерение спектров кругового дихроизма.

СПИСОК ЛИТЕРАТУРЫ

1. Gust D., Moore T.A. // Top. Curr. Chem. 1991. V. 159. P. 103–157.
2. Wasielewski M.R. // Chem. Rev. 1992. V. 92. P. 435–461.
3. Грибкова С.Е., Евстигнеева Р.П., Лузгина В.Н. // Успехи. химии. 1993. Т. 62. С. 1020–1035.
4. Грибкова С.Е., Лузгина В.Н., Евстигнеева Р.П. // Журн. орган. химии. 1993. Т. 29. С. 758–762.
5. Евстигнеева Р.П., Грибкова С.Е., Лузгина В.Н., Пащенко В.З., Тусов В.Б., Корватовский Б.Н. // Биоорган. химия. 1995. Т. 21. С. 133–138.
6. Евстигнеева Р.П., Грибков А.А. // Докл. РАН. 1997. Т. 357. С. 779–781.
7. Боровков В.В., Евстигнеева Р.П., Грибков А.А. // Химия гетероциклических соединений. 1995. С. 343–350.
8. Евстигнеева Р.П., Грибков А.А. // Изв. РАН. 1995. С. 9–24.
9. Benson D.R., Hart B.R., Zhu X., Doughty M.D. // J. Am. Chem. Soc. 1995. V. 117. P. 8502–8508.
10. Ban D.A., Mironov A.F. // Mendeleev Commun. 1995. P. 153–155.
11. Пащенко В.З. Новые физические методы в биологических исследованиях. М.: Наука, 1987. С. 45–46.

The Synthesis and Photophysical Properties of the Triad Consisting of L-Tyrosine Methyl Ester, Mesoporphyrin II, and a Quinone Derivative

R. P. Evstigneeva*, #, A. A. Gribkov*, V. Z. Pashchenko**, V. B. Tusov**, and B. N. Korvatovskii**

*Lomonosov State Academy of Fine Chemical Technology, pr. Vernadskogo 86, Moscow, 117571 Russia

**Moscow State University, Vorob'evy gory, Moscow, 119899 Russia

A triad system containing the residues of L-tyrosine methyl ester (TyrO_{Me}), mesoporphyrin II (P), and 2-(2-hydroxyethyl)thio-3-methyl-1,4-naphthoquinone (Q) was synthesized. The methods of steady-state and dynamic fluorescence were used to reveal the energy and electron transfers in the system. Quantum yields (ϕ) were estimated to be 0.16 for the diad P-Q and 0.53 for the triad Q-P-TyrO_{Me}. The most preferable conformation for the triad was computed.

Key words: *porphyrin, quinone, porphyrin-quinone, tyrosine, triad*

To whom correspondence should be addressed; phone: phone: +7 (095) 434-8678; fax: +7 (095) 434-8711; e-mail: evstigneeva@httos.mitht.msk.ru.